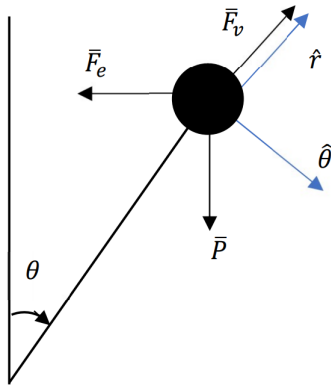


Trabajo practico computacional

Franco, Lautaro, Nicolás, Tomas

October 31, 2020

1 DCL



2 Ecuaciones de Newton

En base al diagrama de cuerpo libre definimos las fuerzas peso y elástica de la siguiente forma:

$$\vec{F}_e = kR \sin^2(\theta) \hat{r} + kR \sin(\theta) \cos(\theta) \hat{\theta}$$

$$\vec{P} = -mg \cos(\theta) \hat{r} + mg \sin(\theta) \hat{\theta}$$

Desarrollamos las ecuaciones de Newton:

$$\hat{r}) \quad -mR\dot{\theta}^2 = F_v - mg \cos(\theta) - kR \sin^2(\theta) \quad (1)$$

$$\hat{\theta}) \quad mR\ddot{\theta} = mg \sin(\theta) - kR \sin(\theta) \cos(\theta) \quad (2)$$

3 Fuerza de vínculo

Para trabajar $F_v(\theta)$, trabajaremos con la ecuación de movimiento

$$mR\ddot{\theta} = mg \sin(\theta) - kR \sin(\theta) \cos(\theta)$$

$$\ddot{\theta} = \frac{g}{R} \sin(\theta) - \frac{k}{m} \sin(\theta) \cos(\theta)$$

Utilizando regla de la cadena,

$$\int_{\dot{\theta}_0=0}^{\dot{\theta}} \dot{\theta} d\dot{\theta} = \int_{\theta_0}^{\theta} \frac{g}{R} \sin(\theta) d\theta - \int_{\theta_0}^{\theta} \frac{k}{m} \sin(\theta) \cos(\theta) d\theta$$

$$\frac{\dot{\theta}^2}{2} = -\frac{g}{R} [\cos \theta - \cos(\frac{\pi}{2})] - \frac{k}{2m} (\sin^2 \theta - 1)$$

$$\dot{\theta}^2 = -2\frac{g}{R} [\cos \theta - \cos(\frac{\pi}{2})] - \frac{k}{m} (\sin^2 \theta - 1)$$

Una vez obtenida esta ecuación, metemos en (1) para así poder despejar $F_v(\theta)$. Queda:

$$-mR[-2\frac{g}{R} [\cos(\theta) - \cos(\frac{\pi}{2})] - \frac{k}{m} (\sin^2(\theta) - 1)] = F_v - mg \cos(\theta) - kR \sin^2(\theta)$$

$$2mg \cos(\theta) + kR(\sin^2(\theta) - 1) = F_v - mg \cos(\theta) + kR \sin^2(\theta)$$

$$3mg \cos(\theta) - 2kR \sin^2(\theta) - kR = F_v$$

Para hallar los puntos de equilibrio analíticamente, pedimos $f(\theta) = 0$. En (2), si $mR\ddot{\theta} = f(\theta) = 0\mathbf{N}$, hay equilibrio. De (2):

$$mR\ddot{\theta} = mg \sin(\theta) - kR \sin(\theta) \cos(\theta)$$

$$0 = \sin(\theta_{\mathbf{eq}})(mg - kR \cos(\theta_{\mathbf{eq}}))$$

Entonces,

$$\rightarrow \sin \theta_{\mathbf{eq}} = 0 \rightarrow \theta_{\mathbf{eq}} \in \{0, \pi\}$$

O bien,

$$mg - kR \cos(\theta_{\mathbf{eq}}) = 0$$

$$\leftrightarrow mg = kR \cos(\theta_{\mathbf{eq}})$$

$$\leftrightarrow \arccos \frac{mg}{kR} = \arccos \cos(\theta_{\mathbf{eq}})$$

$$\rightarrow \theta_{\text{eq}} \in \{\arccos(\frac{mg}{kR}), -\arccos(\frac{mg}{kR})\}$$

Hallamos, los siguientes puntos de equilibrio:

$$\theta_{\text{eq}} \in \{0, \pi, \pm 1.37\} \text{rad}$$

Siendo consistentes con los puntos de equilibrio hallados en el problema 4.9. En cuanto a su estabilidad, buscamos $f'(\theta)$ y la evaluamos en los puntos de equilibrio encontrados. Analizamos su signos.

$$\begin{aligned} f'(\theta) &= \cos(\theta) \left(\frac{g}{R} - \frac{k}{m} \cos \theta \right) + \sin \theta \sin \theta \frac{k}{m} \\ \Leftrightarrow f'(\theta) &= \cos(\theta) \left(\frac{g}{R} - \frac{k}{m} \cos \theta \right) + \sin^2 \theta \frac{k}{m} \end{aligned}$$

Reemplazando:

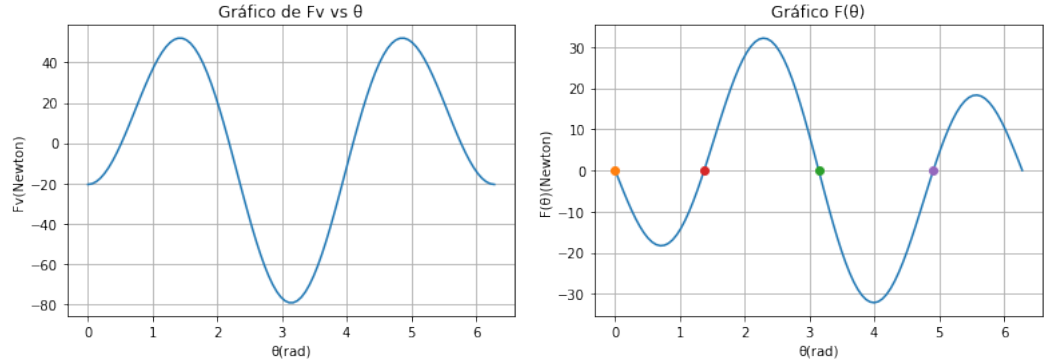
$$f'(0) < 0 \rightarrow \text{Estable}$$

$$f'(\pi) < 0 \rightarrow \text{Estable}$$

$$f'(\pm \arccos(\frac{gm}{Rk})) > 0 \rightarrow \text{Inestable}$$

Coincidiendo con lo pedido, determinando $\theta = 0$ como estable, debido a que $\frac{g}{R} < \frac{k}{m}$

Luego al comparar con la aproximación numérica graficada con Python, obtuvimos que las raíces (marcadas con puntos) coinciden, con un error despreciable de la solución analítica.



4 Pequeñas oscilaciones vs. solución numérica

Para buscar la solución analítica utilizaremos pequeñas oscilaciones. Para ello, desarrollamos el polinomio de Taylor de orden 1 de $f(\theta)$ en un entorno a $\theta_{\text{eq}} = 0$.

$$f(\theta) \simeq f(\theta_{\text{eq}}) + f'(\theta_{\text{eq}})(\theta - \theta_{\text{eq}})$$

$$f(\theta) \simeq (\cos \theta_{\text{eq}} (\frac{g}{R} - \frac{k}{m} \cos(\theta_{\text{eq}})) + \sin^2(\theta))(\theta - \theta_{\text{eq}}) \quad (3)$$

$$f(0) \simeq (\frac{g}{R} - \frac{k}{m})\theta$$

Para que tenga sentido física, $\frac{g}{R} < \frac{k}{m}$ porque sino sería un equilibrio inestable y no podría oscilar. Entonces, coincide con la resolución numérica.

- a. Estos resultados tienen sentido físico ya que al posicionar la masa en el punto de equilibrio 0 el resorte crea una mayor fuerza (elástica) que el peso ($kR > mg$), y en π ambas fuerzas "trabajan en conjunto" restituyendo a la masa a su posición de equilibrio luego de un corrimiento de la misma. Luego, los puntos ± 1.37 que provienen de la ecuación (2) aparentemente también coinciden con el gráfico y son posibles debido a que $mg < kR$ ya que la función arccos tiene el dominio limitado tal que $\theta \in [-1; 1]\text{rad}$.
- b. Luego de aproximar la ecuación de movimiento para pequeñas oscilaciones obtenemos la ecuación (3), y despejamos ω resultando:

$$\omega = \pm \sqrt{mg - kR} \quad (4)$$

Para que tenga sentido físico se debe respetar que $\frac{g}{R} < \frac{k}{m}$ ya que solo así el punto de equilibrio puede ser estable y por ende oscilar (sino no tendría sentido hablar de pequeñas oscilaciones). En cuanto a $\dot{\theta}_i$, debemos considerar un intervalo el cual llegue hasta el punto límite donde la velocidad inicial causa que la masa "salga" definitivamente del punto de equilibrio y deje de oscilar. Finalmente, $\dot{\theta}_i \in [0; 5.7] \frac{\text{rad}}{\text{s}}$.

- c. Luego proponemos una solución a la ecuación diferencial mediante la ecuación:

$$\theta(t) = A \cos \omega t + \phi \quad (5)$$

Resulta, de (5), resulta

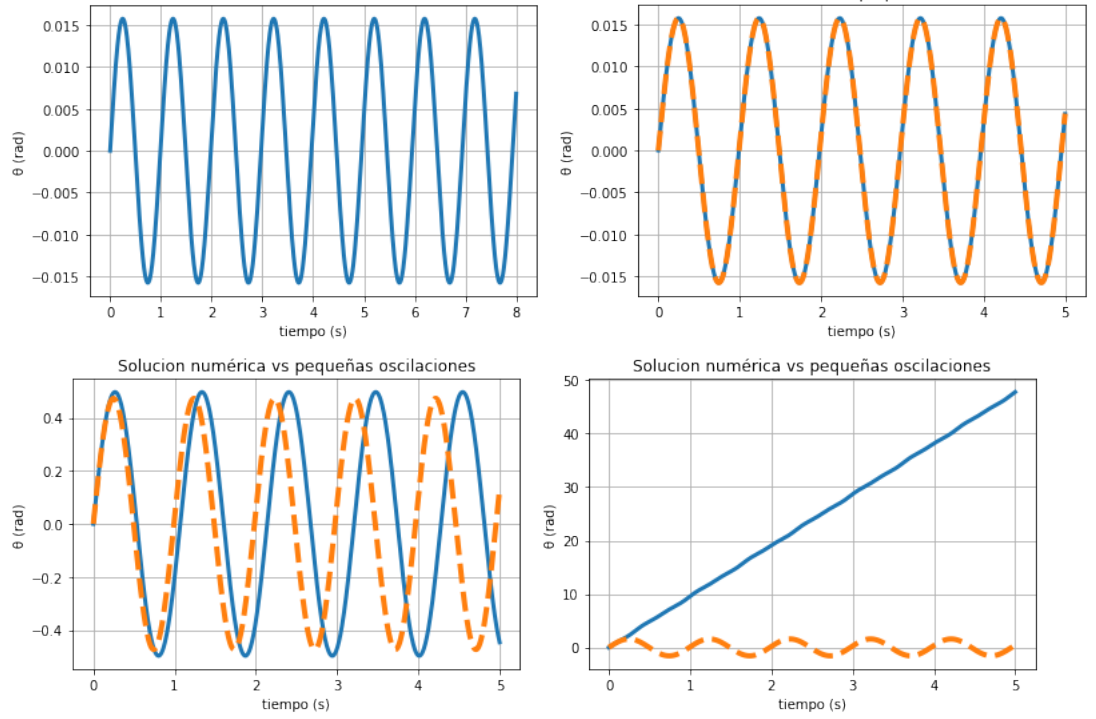
$$\dot{\theta}(t) = -A\omega \sin \omega t + \phi$$

y con las condiciones iniciales dadas por el enunciado, obtenemos la amplitud A y la fase ϕ . Al graficar este resultado y compararlo con el método numérico realizado con *odeint* podemos sacar las siguientes conclusiones: Nos encontramos con que las funciones acuerdan con un error despreciable, siendo prácticamente iguales ($\dot{\theta}_i = 0.1 \frac{\text{rad}}{\text{s}}$).

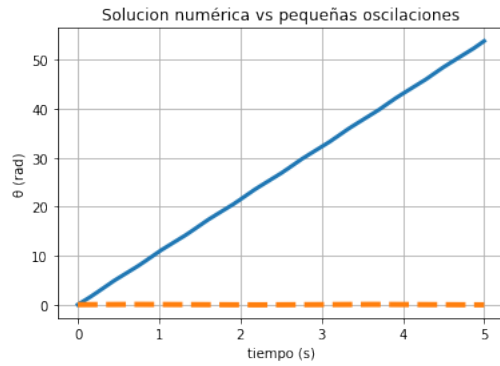
Para $\dot{\theta}_i = 3 \frac{\text{rad}}{\text{s}}$ notamos un desfase marcado, que con el paso del tiempo va aumentando.

Para $\dot{\theta}_i = 10 \frac{\text{rad}}{\text{s}}$ notamos un gráfico diferente a los que veníamos teniendo. Nos encontramos ante una situación en la cual la velocidad inicial es tan

alta que deja de haber oscilación, dado que la masa *sale* del punto de equilibrio.



- d. Cambiando el valor de k por $k = 5 \frac{\text{N}}{\text{m}}$ no nos encontramos, claramente, con el comportamiento típico de pequeñas oscilaciones dado que no hay oscilación. Como $k = 5 \frac{\text{N}}{\text{m}}$ tenemos que en $\theta = 0$ hay un equilibrio inestable, ya que $\frac{g}{R} > \frac{k}{m}$.



Al analizar los gráficos podemos ver que para $t \in [0, 2)$ hay un acuerdo entre ambas soluciones. Luego de $t = 2\text{s}$ comienza a haber un desfase

y con el paso del tiempo el desfase aumenta notablemente. En cuanto a la posición angular, notemos que cuando θ es muy pequeña, los gráficos coinciden. Incluso encontramos acuerdo hasta $\theta \simeq 1\text{rad}$. Luego empieza el desfase y con el tiempo aumenta.